

Таблица. Результаты расчёта канала как гибкого стержня

Метод расчета	Точка	Координата, мм		Изгибающий момент $M \cdot 10^{-4}$, Н·мм	Напряжение σ , МПа
		x	y		
Метод эллиптических параметров	0	0	0	62,9	351
	1	8001	0	62,9	351
	2	1953	376	0	0
	3	4006	751	-62,9	351
	4	6009	376	0	0
Метод упругих параметров	0	0	0	65,2	362
	1	7850	0	65,2	362
	2	1950	376	0	0
	3	3938	752	-65,2	362
	4	5889	376	0	0

Результаты расчётов, проведенные методами эллиптических и упругих параметров [2], представлены в таблице.

Анализ результатов расчёта показал, что оба выбранных метода дают практически одинаковые результаты. Сравнительно большие значения прогибов и напряжений в сечениях канала объясняются тем, что в расчётной схеме конструкции исследуется поведение технологического канала без учёта влияния графитовой колонны и графитовой кладки в целом.

Поэтому на следующем этапе будет исследовано взаимосвязанное поведение графитовой колонны (вместе с технологическим каналом) как единой механической системы. Этому вопросу будет посвящена следующая статья авторов.

СПИСОК ЛИТЕРАТУРЫ

1. Цыренов В.Д. Исследование термомеханики графитовых кладоков промышленных реакторов и разработка мероприятий по продлению их ресурса: Дис... канд. техн. наук. 05.14.03. – Томск, 1985. – 201 с.: с ил.
2. Попов Е.П. Теория и расчёт гибких упругих стержней. – М.: Наука, 1986. – 296 с.
3. Феодосьев В.И. Сопротивление материалов. – М.: Наука, 1986. – 512 с.

Поступила 13.05.2009 г.

УДК 539.376

ПОСТРОЕНИЕ ЗАМКНУТОЙ МОДЕЛИ ДЕФОРМИРОВАНИЯ НАПОЛНЕННЫХ ЭЛАСТОМЕРОВ, УЧИТЫВАЮЩЕЙ МИКРОСТРУКТУРНЫЕ ПОВРЕЖДЕНИЯ

А.А. Светашков, В.М. Замятин, Н.А. Куприянов

Томский политехнический университет
E-mail: zvm@tpu.ru

Исследуется механическое поведение резиноподобных эластомеров с наполнителем в виде измельченных металлических частиц. Проанализированы эксперименты по одноосному напряженно-деформированному состоянию образцов, подвергающихся сложным по времени режимам нагружения: растяжению и разгрузке с постоянными скоростями изменения напряжений и деформаций, восстановлению после отдыха, ползучести и релаксации. В математическую модель, прогнозирующую механическое поведение эластомера, введены функционалы, отвечающие за разупрочнение, полученное в результате накопления повреждений и частичную залечиваемость при разгрузке. Предложенная модель удовлетворительно описывает поведение эластомера для сложных по времени траекторий нагружения и деформирования.

Ключевые слова:

Ползучесть, релаксация, повреждаемость, вязкоупругость, наполненный эластомер, математическая модель, механическое поведение.

Key words:

Creep, relaxation, damageability, viscoelasticity, extended elastomer, mathematical model, mechanical behavior.

Одним из основных факторов, сдерживающих прогнозирование механического поведения и расчет конструкций из наполненных эластомеров (НЭ), состоящих из резиноподобного связующего и твердых частиц наполнителя, является отсутствие достоверной замкнутой математической модели механического поведения НЭ. Трудности в моделировании деформационных и прочностных свойств

НЭ связаны в первую очередь с учетом происходящих в процессе деформирования микроструктурных повреждений (отслоение частиц наполнителя от связующего). Впервые подобное поведение было исследовано в [1] для вулканизированной резины (эффект Маллинза). Механическое поведение НЭ с учетом упруго-наследственных свойств не может быть моделировано в рамках классической модели

Больцмана-Вольтерра, опирающейся на гипотезу затухающей памяти, в силу необратимого характера накопления повреждений в микроструктуре.

Впервые математическая модель вязкоупругого поведения НЭ с учетом повреждений микроструктуры была предложена в [2], а также независимо в [3]. Дальнейшему развитию модели [2] посвящены работы [4, 5].

В основу подхода Фитцджеральда [2] при моделировании поведения НЭ положен синтез теории предельного состояния НЭ и деформационной модели наследственного типа. Полученные на основе данного подхода определяющие уравнения как правило весьма сложны, незамкнуты и прогнозируют процессы механического поведения только с заданным законом изменения деформации. Кроме того, данный подход требует для описания весьма малых деформаций композита знание его предельных характеристик. Область применимости модели [2] ограничена простыми по времени процессами нагружения, в частности, она неприменима для описания разгрузки и нагружения после отдыха. В работе [3] авторами было проведено моделирование сложных по времени процессов нагружения и деформирования НЭ в рамках деформационного подхода (т. е. без привлечения какой-либо теории предельного состояния НЭ), опирающегося на построение определяющих уравнений, для которых не выполняется гипотеза затухающей памяти. К недостаткам данной модели следует отнести: её незамкнутость, неудовлетворительное описание процессов восстановления и разгрузки после процесса релаксации и ползучести, а также необходимость использования различных функций в описании процессов нагружения и разгрузки.

В данной работе в рамках одноосного напряженного состояния предлагается замкнутая деформационная модель, которая является обобщением модели [3]. Для учета микроструктурных повреждений вводится мера повреждаемости НЭ

$$p(t) = \max \{ \sigma(\tau) \}_{\tau=0}^t. \quad (1)$$

Данный функционал отражает неубывающий характер накопления повреждений. Определенная таким образом повреждаемость предполагает наличие следующих свойств у НЭ: а) повреждаемость пропорциональна уровню напряженного состояния; б) при повторных нагружениях в пределах достигнутого уровня напряжений повреждаемость не накапливается; в) на участках разгрузки накопленная повреждаемость влияет на процесс деформирования, но не залечивается; г) на участке отдыха повреждаемость не залечивается; д) при превышении ранее достигнутого уровня напряжений повреждаемость возрастает.

Наряду с процессом накопления повреждений в НЭ может происходить процесс частичного залечивания повреждений при разгрузке, характеризуемый некоторым функционалом истории напряженного состояния

$$q(t) = q \{ \sigma(\tau) \}_{\tau=0}^t. \quad (2)$$

Одним из факторов, обеспечивающих удовлетворительное прогнозирование поведения НЭ, явился отказ от предположения о непрерывном влиянии количества накопленных повреждений на процесс нагружения, независимо от его вида (в отличие от подхода Фитцджеральда). Действительно, как показывают опыты с НЭ, процесс непрерывного активного нагружения происходит линейно, что обусловлено, по-видимому, линейным ростом числа микроповреждений. Процесс непрерывного активного нагружения идет по «ненарушенной» структуре, энергия деформирования расходуется на образование новых микроповреждений, а уже накопленные повреждения не влияют на образование новых. С этих позиций, очевидно, можно объяснить тот факт, что для процессов, для которых на протяжении всей истории нагружения имеет место неравенство

$$\dot{\sigma}(\tau) > 0, \quad \tau \in [0, t], \quad (3)$$

справедливы соотношения линейной теории вязкоупругости

$$\begin{aligned} \sigma(t) &= \int_0^t R(t-\tau) d\varepsilon(\tau) \equiv \tilde{R}\varepsilon, \\ \varepsilon(t) &= \int_0^t \Pi(t-\tau) d\sigma(\tau) \equiv \tilde{\Pi}\sigma. \end{aligned} \quad (4)$$

Здесь $R(t)$, $\Pi(t)$ – функции релаксации и ползучести,

$$\begin{aligned} R(t) &= 0,25(t+t_0)^{-0,06}, \\ \Pi(t) &= 3,99(t+t_0)^{0,06}, \end{aligned}$$

где константа t_0 определяется из условия

$$R(0) = \frac{1}{\Pi(0)} = E,$$

E – модуль Юнга эластомера, принимаемый равным 10 МПа.

Функции $R(t)$, $\Pi(t)$ определялись из опытов при $\dot{\varepsilon} = \text{const}$, $\dot{\sigma} = \text{const}$, т. е. в процессах нагружения, в которых выполняется неравенство (3).

В случае невыполнения (3) накопленные повреждения влияют на деформационные свойства НЭ, поэтому процессы разгрузки, догрузки после релаксации и ползучести, а также повторного нагружения после отдыха уже не могут быть прогнозированы на основе (4).

Как и в [3], функции, описывающие влияние накопленной повреждаемости на текущий процесс нагружения, имеют вид экспоненциальных множителей, стоящих перед операторами упругой наследственности

$$\sigma(t) = \exp[-\alpha(P)I(t)(P-s(t))e^{a-bs(t)}] \tilde{R}\varepsilon, \quad (5)$$

$$\varepsilon(t) = \exp[\alpha(P)I(t)(P-s(t))e^{a-bs(t)}] \tilde{\Pi}\sigma. \quad (6)$$

Здесь $s(t)$ – текущая повреждаемость НЭ. В процессах с заданным напряжением:

$$s(t) = |\sigma(t)|,$$

в процессах с заданной деформацией:

$$s(t) = |\bar{R}\varepsilon(\tau)|.$$

$I(t)$ – функционал траектории нагружения, отражающий избирательный характер влияния накопленной повреждаемости по отношению к виду процесса нагружения

$$I(t) = H \left\{ \int_0^t [1 - H(\dot{s}(\tau))] d\tau \right\}, \quad (7)$$

$$H(x) = \begin{cases} 1, & x > 0, \\ 0, & x \leq 0, \end{cases}$$

α, a, b – функции $P=P(t)$:

$$\alpha = \exp(-\alpha_0 - \alpha_1 P), \quad a = a_0 - a_1 P, \quad b = b_0 - b_1 / P, \quad (8)$$

$P(t)$ – функционал, определяющий соотношение между накопленной повреждаемостью и залечиваемостью

$$P(t) = k(p(t) + \chi q(t)), \quad (9)$$

$a_0, a_1, b_0, b_1, \alpha_0, \alpha_1, k, \chi$ – параметры.

Размерности величин, входящих в определяющие уравнения (5), (6), назначаются таким образом, чтобы показатели экспоненциальных множителей перед операторами $\bar{R}\varepsilon, \bar{P}\sigma$ были безразмерными.

Соотношение (6) является решением (5), так как $\bar{R}\bar{P}=1$, а экспоненциальный множитель является функцией t . Таким образом, введение единой меры текущей повреждаемости $s(t)$, общей как для процессов нагружения, так и для процессов деформирования, позволило сформулировать замкнутые определяющие уравнения механического поведения НЭ. Из структуры последних следует их предельные свойства: при $P=0$ (отсутствие повреждаемости) уравнения (5), (6) переходят в (4); при $s(t) > P(t)$ также имеем соотношения (4), процесс последующего активного нагружения происходит уже по ненарушенной структуре. На рис. 1 приведены расчетные и опытные кривые повторного нагружения в режимах $\dot{\varepsilon} = \text{const}, \dot{\sigma} = \text{const}$. Образцы, условия и методика экспериментальной части исследований приведены в [6]. Кривые (1–3) относятся к различным уровням предварительного нагружения: $P(t) = 0,20; 0,38; 0,51$ МПа, соответственно. Время отдыха, которое менялось в пределах от нескольких часов до нескольких суток, практически не повлияло на кривые σ – ε повторного нагружения. Числовые константы $a_0, a_1, b_0, b_1, \alpha_0, \alpha_1$, входящие в (8), определялись на основе аппроксимации кривых повторного нагружения (1–3) графоаналитическим методом. Рассчитанные кривые повторного нагружения, полученные для значений $\alpha_0=0,81; \alpha_1=0,17; a_0=0,65; a_1=0,02; b_0=0,16; b_1=1,77; k=0,93$ имеют отклонения от экспериментальных

кривых в пределах 20 %. При активном ($\dot{\sigma} > 0$) повторном нагружении функционал повреждаемости определялся как $P(t) = kp(t)$, т. е. принималось, что залечиваемость отсутствует, $\chi = 0$.

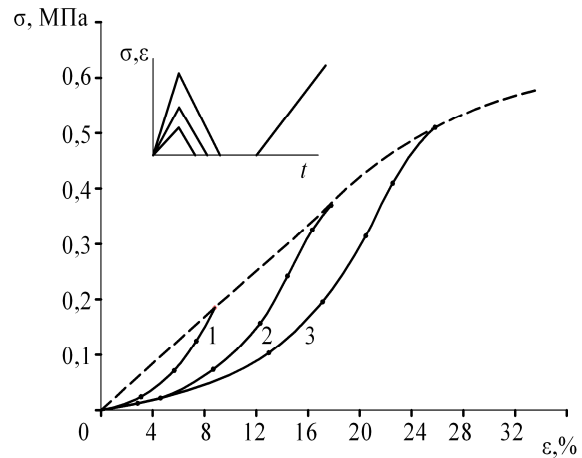


Рис. 1. Повторное нагружение НЭ после отдыха в режимах, $\dot{\varepsilon} = \text{const}, \dot{\sigma} = \text{const}$. ---- расчет по (4); — опыт, расчет по (5). Уровни предварительного нагружения для кривых (1), (2), (3) – 0,20, 0,38, 0,51 МПа

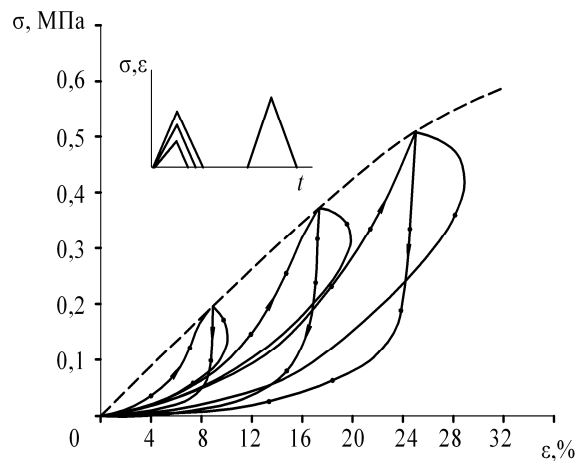


Рис. 2. Нагружение и разгрузка при $\dot{\varepsilon} = \text{const}, \dot{\sigma} = \text{const}$. ---- расчет по (4); — нагружение, опыт и расчет по (5); - - - разгрузка, опыт; — расчет по (5)

При разгрузке с постоянной скоростью изменения напряжений и деформаций (рис. 2) опытные кривые σ – ε идут значительно ниже кривых повторного нагружения, соответствующих одинаковым уровням предварительной нагрузки, определяемой функционалом $p(t)$ по (1). Для описания разгрузки принято следующее определение функционала залечиваемости

$$q(t) = \chi_0 H(-\dot{s}(t))s(t), \quad (10)$$

где $\chi_0 = 0,5$. Из (10) видно, что $q(t)$ убывает при разгрузке от некоторого значения $s(t_*)$, где t_* – момент начала разгрузки, до 0. При нагружении повреждаемость определяется только функционалом $p(t)$. На рис. 2 также приведены расчетные кривые разгрузки НЭ. Наибольшее расхождение с экспериментом (до 30 %) наблюдается в начальные моменты разгрузки. Более точного описания процессов раз-

грузки, очевидно, можно добиться, вводя более сложные способы задания функционала залечиваемости (10).

Практический интерес представляет поведение НЭ при различных законах изменения во времени напряжений и деформаций. Сравнение экспериментальных результатов и расчетных значений по моделям (4) и (5), (6) с учетом временных особенностей представлено на рис. 3–6.

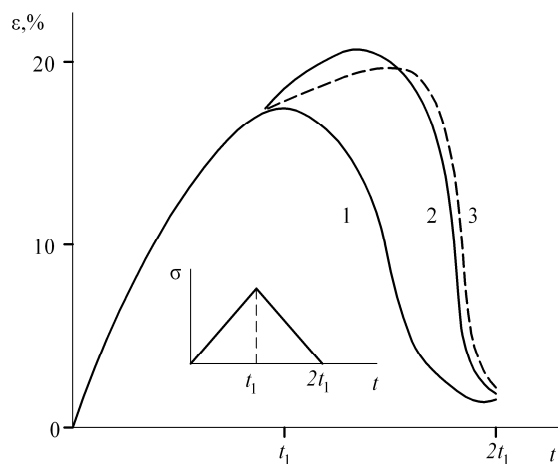


Рис. 3. Нагрузка и разгрузка с постоянной скоростью изменения напряжений ($t_1 = 8$ мин). 1) расчет по (4); 2) опыт; 3) расчет по (5), (6)

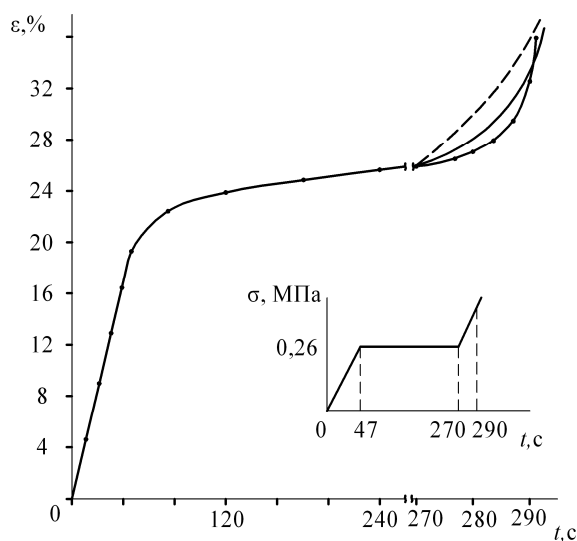


Рис. 4. Догрузка с постоянной скоростью изменения напряжений после ползучести. ---- расчет по (4); — опыт; — расчет по (6)

При нагружении и разгрузке с постоянной скоростью изменения напряжений (рис. 3) и догрузкой после процесса ползучести (рис. 4) расчетные по моделям (5), (6) и экспериментальные диаграммы имеют достаточно близкое совпадение (около 15...20%). Расчеты по модели (4), не учитывающей влияние

накопленной повреждаемости, дают более значительные расхождения прогноза и эксперимента.

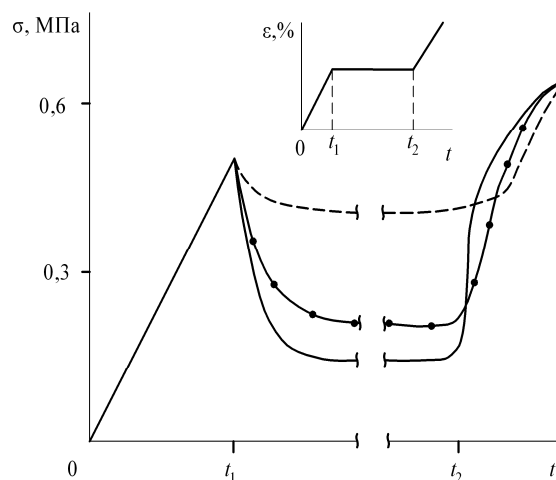


Рис. 5. Восстановление при нагружении с постоянной скоростью деформирования после релаксации напряжений ($t_1 = 10$ мин., $t_2 \geq 10t_1$). ---- расчет по (4); — опыт; — расчет по (5)

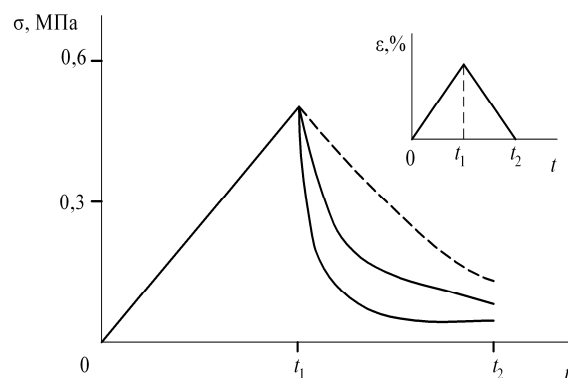


Рис. 6. Нагружение и разгрузка с постоянной скоростью деформирования ($t_1 = 10$ мин., $t_2 = 2t_1$). ---- расчет по (4); — опыт; — расчет по (5)

При заданных законах изменения деформации прогноз напряжений по линейной модели (4) также дает значительно завышенные значения по сравнению с опытом и расчетом по модели (5), (6), учитывающей влияние накопленных повреждений. В то же время расчеты процессов восстановления после релаксации (рис. 5) и разгрузки с постоянной скоростью деформирования (рис. 6) по модели (5), (6) дают удовлетворительное совпадение с экспериментом (в пределах 20...25%).

Приведенные на рис. 1–6 результаты экспериментов с НЭ выполнены при скоростях нагружения и деформирования $\dot{\sigma}_0 = 0,0077$ МПа/с, $\dot{\epsilon}_0 = 0,0043$ 1/с.

Полученные определяющие уравнения (5) и (6) НЭ могут быть обобщены на случай трехмерного напряженно-деформированного состояния.

Выводы

1. Использование предложенной модели, учитывающей нарушение микроструктуры, позволило получить замкнутые уравнения, прогнозирующие деформирование наполненных эластомеров.
2. Для определения функций и констант, входящих в определяющие уравнения, не требуется

знания прочностных свойств наполненных эластомеров; достаточно знание деформационных свойств эластомеров в условиях сложных по времени процессов нагружения.

3. Разработанная модель дает удовлетворительное описание системы экспериментов в условиях сложных по времени процессов нагружения: нагрузка, разгрузка, отдых, повторное нагружение.

СПИСОК ЛИТЕРАТУРЫ

1. Holt W.L. Rubber Chem // Technol. – 1932. – V. 5. – № 79. – P. 201–209.
2. Fitzgerald I.E., Farris R.I. Deficiencies viscoelastic theories as applied to solid propellants // Rep. UTEC. TN70-204: Univ. of Utah, 1970. – 128 p.
3. Алексеев Л.А., Светашков А.А., Федоренко В.Д. Исследование реологического поведения материалов с изменяющейся структурой // ВИНТИ. – № 1034-75. – ДЕП. от 10.4.75. – С. 1–12.
4. Зезин Ю.П., Малинин Н.И. Экспериментальная проверка концепции Фитцджеральда о незатухающей памяти наполнен-

ных полимеров // Известия АН СССР. Механика твердого тела. – 1977. – Т. 3. – С. 125–129.

5. Зезин Ю.П., Малинин Н.И. О методах описания деформационных и прочностных свойств высоконаполненных полимерных систем // Механика композиционных материалов. – 1980. – № 4. – С. 592–600.
6. Светашков А.А. К вопросу деформирования сред в условиях разупругости и разупрочнения в процессе повторного нагружения: Автореф. дис. ... канд. физ.-мат. наук. – Томск, 1975. – 19 с.

Поступила 09.06.2009 г.

УДК 621.315.592+004.942

ОЦЕНКА ДИНАМИКИ ТЕМПЕРАТУРНОГО ПОЛЯ В РАБОЧЕМ ОБЪЕМЕ ВЕРТИКАЛЬНОЙ УСТАНОВКИ БРИДЖМЕНА ПРИ ПРОДОЛЬНО-ОСЕВОМ ПЕРЕМЕЩЕНИИ РОСТОВОГО КОНТЕЙНЕРА В ПРОЦЕССЕ ВЫРАЩИВАНИЯ КРИСТАЛЛОВ

М.М. Филиппов, Ю.В. Бабушкин, А.И. Грибенюков*, В.Е. Гинсар*

Томский политехнический университет

*Институт мониторинга климатических и экологических систем СО РАН, г. Томск

E-mail: imces@yandex.ru

Представлены результаты численного расчета температурного поля в рабочем объеме установки для выращивания кристаллов методом Бриджмена в вертикальном варианте с затравочным кристаллом. Расчетная модель включает стандартные условия тепловой задачи для системы кольцевых нагревательных модулей, формирующих температурное поле осевой симметрии и приближенное к реальности заполнение рабочего объема. Исследованы изменения температурного поля в рабочем объеме в зависимости от положения ампулы относительно установки.

Показано, что при стационарном осевом распределении температуры в установке, по мере движения ампулы, форма фронта кристаллизации и его положение изменяются относительно начальных, и кристаллизация материала проходит с переменной скоростью, отличающейся от скорости перемещения ампулы.

Ключевые слова:

Многозонная термическая установка, метод Бриджмена, численное моделирование, термические процессы, рост кристаллов, форма фронта кристаллизации.

Key words:

Multizone thermal device, Bridgman method, numerical modeling, thermal process, crystal growth, crystallization front form.

Одним из широко используемых в настоящее время методов выращивания кристаллов является метод Бриджмена [1, 2]. Этот метод направленной кристаллизации, ранее применяемый для глубокой очистки металлов и элементарных полупроводников, сейчас успешно применяется для выращивания монокристаллов различных многокомпонентных соединений для оптических приборов и систем. По мере повышения требований к однород-

ности получаемых кристаллов и необходимости увеличения их размеров встает проблема разработки прецизионного термического оборудования, способного обеспечить создание, поддержание и контролируемые изменения температурного поля в рабочем объеме установки в течение достаточно длительного временного периода, необходимого для реализации технологического процесса. Одним из факторов, влияющих на структурное совершен-